

# МАГНІТООПТИЧНІ ВЛАСТИВОСТІ ГРАНУЛЬОВАНИХ ПЛІВКОВИХ СИСТЕМ НА ОСНОВІ Co ТА Cu, Ag I Au

**Д. М. Кондрахова, З. М. Макуха, О. П. Ткач, І. Ю. Проценко, О. В. Кузовлев<sup>1</sup>**

*Сумський державний університет, Україна*

*<sup>1</sup>Харківський національний університет імені В. Н. Каразіна*

Надійшла до редакції 15.12.2014

Проведено дослідження магнітооптичних властивостей плівкових систем Co/Cu(Ag, Au), в яких зберігається індивідуальність окремих шарів або формуються тверді розчини (т. р.). У свіжесконденсованих зразках Co/Cu та Co/Au, на відміну від Co/Ag, має місце прямоугольна форма петлі гістерезису, що пояснюється формуванням т. р. вже в процесі конденсації тонких плівок. Введено до розгляду нове поняття деформаційного коефіцієнту коерцитивної сили MOKE і отримана його деформаційна залежність.

**Ключові слова:** тверді розчини, MOKE, коерцитивна сила, деформаційний коефіцієнт коерцитивної сили.

## МАГНІТООПТИЧЕСКИЕ СВОЙСТВА ГРАНУЛИРОВАННЫХ ПЛЕНОЧНЫХ СИСТЕМ НА ОСНОВЕ Co И Cu, Ag И Au

**Д. Н. Кондрахова, З. Н. Макуха, Е. П. Ткач, И. Е. Проценко, О. В. Кузовлев**

Проведены исследования магнитооптических свойств пленочных систем Co/Cu(Ag, Au), в которых сохраняется индивидуальность отдельных слоев или формируются твердые растворы (т. р.). В свежесконденсированных образцах Co/Cu и Co/Au, в отличие от Co/Ag, имеет место прямоугольная форма петли гистерезиса, что объясняется формированием т. р. уже в процессе конденсации тонких пленок. Введено в рассмотрение новое понятие деформационная зависимость коэффициента коэрцитивной силы MOKE и получена его деформационная зависимость.

**Ключевые слова:** твердые растворы, MOKE, коэрцитивная сила, деформационный коэффициент коэрцитивной силы.

## MAGNETOOPTICAL PROPERTIES OF GRANULAR FILM SYSTEMS BASED ON Co AND Cu, Ag AND Au

**D. M. Kondrakhova, Z. M. Makukha, O. P. Tkach, I. Yu. Protsenko, O. V. Kuzovlev**

A study of magneto-optical properties of film systems Co/Cu (Ag, Au), which contain the preserved individuality separate layers or formed solid solutions (s. s.). In as-deposited samples Co/Cu and Co/Au, in unlike the Co/Ag, is a rectangular shape of the hysteresis loop, due to the formation of s. s. already in the process of condensation thin films. Introduce a new notion of the strain coefficient of coercive force MOKE and received its strain dependence.

**Keywords:** solid solutions, MOKE, coercive force, strain coefficient of coercive force.

## ВСТУП

З розвитком спінtronіки велику увагу привернуло до себе вивчення магнітних та магнітооптичних процесів в металевих та напівпровідникових структурах [1]. Постійно ведуться пошуки нових матеріалів із необхідними магнітними властивостями для створення різноманітних чутливих елементів. У залежності від типу вибраного матеріалу або товщини та кількості його прошарків можна отримати плівкові системи навіть із наперед заданою орієнтацією магнітних моментів. З цієї точки зору найбільш перспективними

можна вважати матеріали із можливим спін-залежним розсіюванням електронів, наприклад, плівкові системи на основі Co/Cu, (Ag або Au), які широко використовуються як елементна база для створення засобів мікроелектроніки та спінtronіки, через відкриття в них явища гігантського магнітоопору та стабільності їх вихідних характеристик [2—4]. Системи на основі даних матеріалів утворюють гранульований сплав із розміщенням феромагнітних гранул в немагнітній матриці, вони широко застосовуються в приладобудуванні

завдяки низькому рівню шуму, через відсутність доменних стінок, використовуються для формування чутливих елементів датчиків магнітного поля, магнітооптичних пристрій запису інформації та ін. [5—7]. У гранульованих сплавах магнітними властивостями можна керувати змінюючи розміри феромагнітних частинок або їх концентрацію [8].

## МЕТОДИКА ЕКСПЕРИМЕНТУ

Отримання плівкових зразків на основі Со з розділяючим шаром Cu, Ag або Au проводилося пошаровою конденсацією методом термічного випарування на підкладку з аморфного ситалу та полістиролу (установка ВУП-5М, тиск залишкових газів  $P = 10^{-4}$  Па).

Установка для дослідження магнітооптичних властивостей складалася з генератора світла (лазера), поляризатора, оптичної лінзи, за допомогою якої формувався пучок світла з довжиною хвилі  $\lambda = 670$  нм та направлявся на зразок, що знаходився в магнітному полі 150 мТл. Після відбиття від зразка світло з плоскополяризованого перетворювалось в еліптично поляризоване, відбувався поворот площини поляризації. Далі сигнал прямував на ще одну збирачу лінзу та модулятор Фарадея, що представляв собою соленоїд зі скляним осердям, де відбувалася компенсація зміни кута площини поляризації за допомогою струму, прикладеного до модулятора Фарадея. Після цого сигнал потрапляв на перетворювач, фотодетектор, підсилювач та виводився на комп’ютер, де будувалася в автоматизованому режимі петля гістерезису, з якої визначались кут повороту Керра ( $\Theta$ ), індукція насичення та коерцитивна сила ( $B_c$ ).

У залежності від напряму поширення світла  $\vec{k}$  відносно орієнтації вектора намагніченості  $\vec{M}$  виділяють три геометрії вимірювання ефекту Керра (MOKE) — полярний, меридіальний та екваторіальний, перші два відносяться до поздовжньої, а останній до поперечної (рис. 1). У нашому випадку, у зв’язку з особливістю установки, досліджувалися лише полярний та меридіальний ефекти Керра. Слід зазначити, суть

полярного та меридіального ефекту Керра полягає у повороті площини поляризації та появи еліптичності у відбитого світла при намагнічуванні зразка (кристала). В свою чергу екваторіальний ефект полягає у зміні інтенсивності та зміщенні фази  $p$ -компоненти світла, яке відбите від феромагнітного матеріалу при його намагнічуванні.

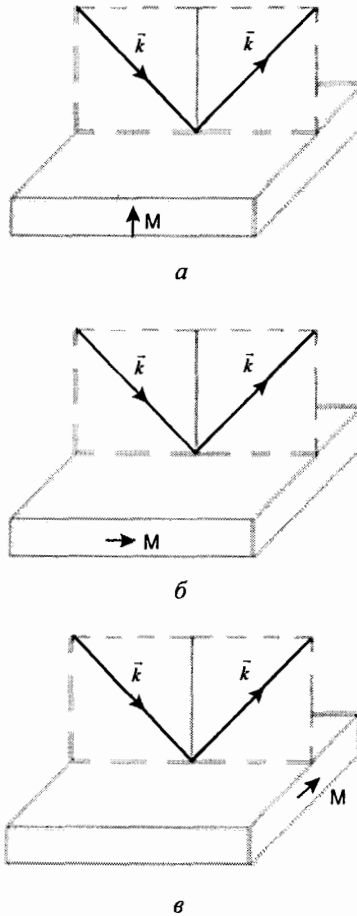


Рис. 1. Схематичне зображення взаємної орієнтації хвильового вектора ( $\vec{k}$ ) та намагніченості ( $\vec{M}$ ) при спостереженні полярного (a), меридіального (b) та екваторіального (c) ефектів Керра

Деформація зразків на розтяг проводилася в магнітному полі з використанням спеціального пристрою, який дозволяв отримувати видовження плівок до 10 % (для цього як підкладки використовувався полістирол).

## ЕКСПЕРИМЕНТАЛЬНІ РЕЗУЛЬТАТИ

Матеріали із можливим спін-залежним розсіюванням електронів розглядаються як основні при створенні чутливих елементів датчиків магнітного поля, сенсорів та пристрій

магнітного або магнітооптичного запису-читування інформації. У залежності від області застосування до них висувається ряд вимог: висока чутливість до магнітного поля, стабільні магнітні та структурні характеристики тощо. Гранульовані сплави та тверді розчини мають унікальний структурно-фазовий стан та магнітні властивості, але для повного розуміння процесів, що відбуваються в системах під впливом температури та дією зовнішнього магнітного поля необхідно також досліджувати їх магнітооптичні властивості.

Для того, щоб оцінити внесок немагнітних шарів дво- чи тришарових систем на основі Со у величину MOKE, нами були проведені дослідження магнітооптичних властивостей одношарових плівок Со (рис. 2). У спін-вентильних структурах не рідко використовують поєднання шарів Со різної товщини, оскільки тонкий шар (вільний) легко переорієнтується по магнітному полю, а більш товстий ( $d > 40$  нм) виступає у ролі закріплюючого або основного.

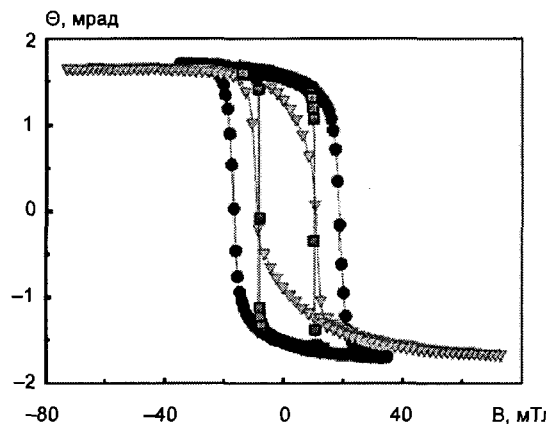


Рис. 2. Залежності MOKE в одношарових плівках Со(9)/П (●), Со(25)/П (▽) та Со(36)/П (□). У дужках вказано товщину в нм, П — підкладка

Дослідження кристалічної структури та фазового складу одношарових плівок Со та Си було детально описано в роботах різних авторів (див., наприклад, [9—10]), що дозволило нам визначити необхідні умови конденсації для отримання плівок з кристалічною структурою та майже повною відсутністю оксидної фази. Одношарові плівки, як і масивний Со, мають дві поліморфні модифікації — низькотемпературну

ГШП-фазу та високотемпературну ГЦК-фазу, з параметром гратки  $a_0 = 0,2505$  нм,  $c_0 = 0,4089$  нм та  $a_0 = 0,3548$  нм, відповідно. Поліморфний ГШП  $\rightarrow$  ГЦК перехід у масивних зразках відбувається при температурах  $T = 700$  К, а в тонких плівках, внаслідок фазового розмірного ефекту, при  $T < 700$  К [9]. Слід зазначити, що вихідні одношарові плівки Со дрібнодисперсні.

Одношарові плівки Си, Ag та Au використовувалися як розділяючий шар в тришаровій системі феромагнетик / немагнітний матеріал / феромагнетик. Для них характерний середній розмір кристалітів ( $L$ ) знаходиться в межах 10—15 нм, проте в процесі термовідпалювання значення  $L$  збільшується у декілька разів, що свідчить про інтенсивне проходження процесів рекристалізації у даних плівках.

Для коректного аналізу фазового складу плівкової системи на основі Со та Си були проведені дослідження дво- та тришарових зразків, з різною концентрацією Со компоненти, з послідуочим порівнянням їх структурно-фазових властивостей. Як свідчать дані електронографічних досліджень, двошарові плівкові системи Си/Со/П втрачають індивідуальність шарів ще в процесі пошарової конденсації компонент. При розшифруванні електронограм від таких систем встановлено, що при  $T = 300$  К фазовий склад відповідає т. р. (Си, Со) + ГШП-Со. У процесі відпалювання до 700 К та подальшому охолодженні до 300 К не спостерігається істотних змін у фазовому стані плівкових систем. Середній параметр гратки (т. р. (Си, Со)) становить  $0,3590 \pm 0,0005$  нм. Отримані дані узгоджуються з рядом робіт інших авторів [11—15].

Для свіжесконденсованих плівок Со характерна прямокутної форми петля гістерезису з малою величиною магнітного поля, яке необхідно прикласти для переорієнтації магнітних моментів (рис. 3). Осадження шару Си на Со дає свій внесок у вихідний сигнал MOKE плівкових зразків, що проявляється у зменшенні значення залишкової намагніченості та коерцитивної сили (від 8,2 до 4,9 мТл). Така поведінка обумовлена наявністю діамагнітного матеріалу,

формуванням т. р. (Cu, Co) за рахунок конденсаційно-стимульованої дифузії в процесі осадження плівки, а також чутливістю установки MOKE. Додавання верхнього шару Co, при отриманні тришарової системи Co(6)/Cu(10)/Co(36)/П, приводить до збільшення  $B_c$  за рахунок магніто-жорстких властивостей Co та його фазового стану, що відповідає ГЦП-Со, оскільки осадження усіх плівок Со відбувалося при температурах  $T_p \approx 300$  К. Ефект MOKE у плівкових матеріалах на основі Co і Cu (рис. 3.) проявляє збереження форми вихідного сигналу, що дозволяє використовувати дану систему як чутливий елемент датчика перемикача магнітного поля при кімнатних температурах. Згідно роботи [16] величина коерцитивної сили залежить від концентрації Co у т. р., так при її зменшенні від 50 до 30 %  $B_c$  зростає вдвічі, подібна тенденція спостерігається і у наших зразках Co(5)/Cu(x)/Co(20)/П, де  $x = 5, 10, 15$  нм (рис. 3 б).

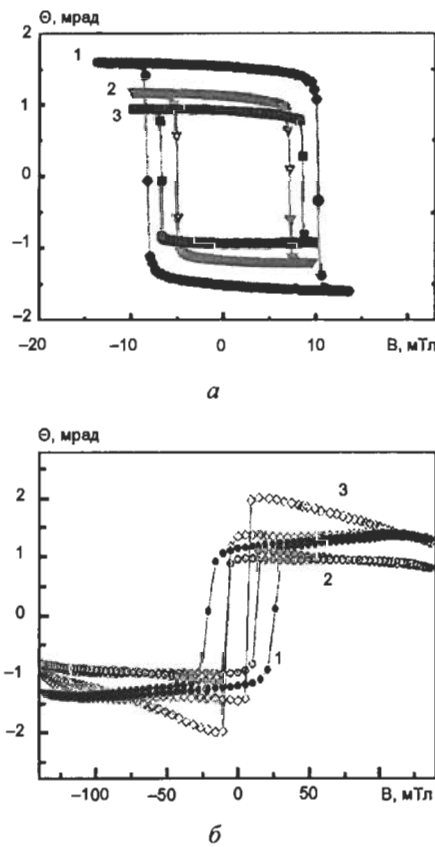


Рис. 3. Залежності MOKE в плівкових системах: а — Co(36)/П (1), Cu(10)/Co(36)/П (2), Co(6)/Cu(10)/Co(36)/П (3) та б — Co(5)/Cu(x)/Co(20)/П, де  $x = 5$  (крива 1), 10 (2) і 15 (3) нм

В результаті термовідпалювання системи Cu/Co/П до 700 К внаслідок формування т. р. (Cu, Co) та поліморфного перетворення ГЦП → ГЦК петля гістерезису звужується і стає більш пологою (рис. 4).

В тришарових системах Co/Cu/Co/П, які були відпалені до 500, 700 та 900 К, на залежностях MOKE спостерігається зміна петлі гістерезису (рис. 4 г). При температурах вищих 300 К у системі Co/Cu/Co внаслідок термовідпалювання відбувається заліковування дефектів кристалічної решітки та повне перемішування компонент з формуванням т. р. (Cu, Co). Підвищення температури відпалення до 900 К приводить до розшарування т. р. (Cu, Co) і появі гранул Со, що співпадає з результатами авторів роботи [17].

Система Ag/Co характеризується незмішуваністю компонент при низьких температурах. Відмічено зміну форми петлі MOKE у зразках Ag(8)/Co(36)/П та Co(6) Ag(8)/Co(36)/П у порівнянні з одношаровими плівками Co(36)/П (рис. 5). У даному випадку форма петлі гістерезису майже не відрізняється, коливаються лише значення залишкової намагніченості, на що впливає наявність немагнітного матеріалу (Ag).

При відпалюванні плівкових зразків Ag/Co/П до 700 К відбувається перехід до т. р. (Ag, Co). На розмір кристалітів суттєво впливає концентрація Co. Так при  $c_{Co} = 40—70$  ат.% L змінюється від 20 до 9 нм [18], внаслідок чого змінюються і вихідні характеристики MOKE, зокрема, величина коерцитивної сили. Форма петлі MOKE у двошаровій системі Ag(4)/Co(25)/П у невідпаленому стані має форму подібну до одношарової плівки Со, а тонкий шар Ag вносить свій внесок лише після термовідпалювання, внаслідок чого формується т. р. (Ag, Co).

Подібною до Ag/Co є система Au/Co, в якій зберігається індивідуальність шарів під час конденсації та утворення т. р. з виділенням гранул Со при термообробці  $T = 700$  К. Рис. 6 ілюструє форму петлі MOKE у плівках Со та дво- і тришарових плівках на основі Со і Au. Додавання шару Au зменшує величину залишкової намагніченості.

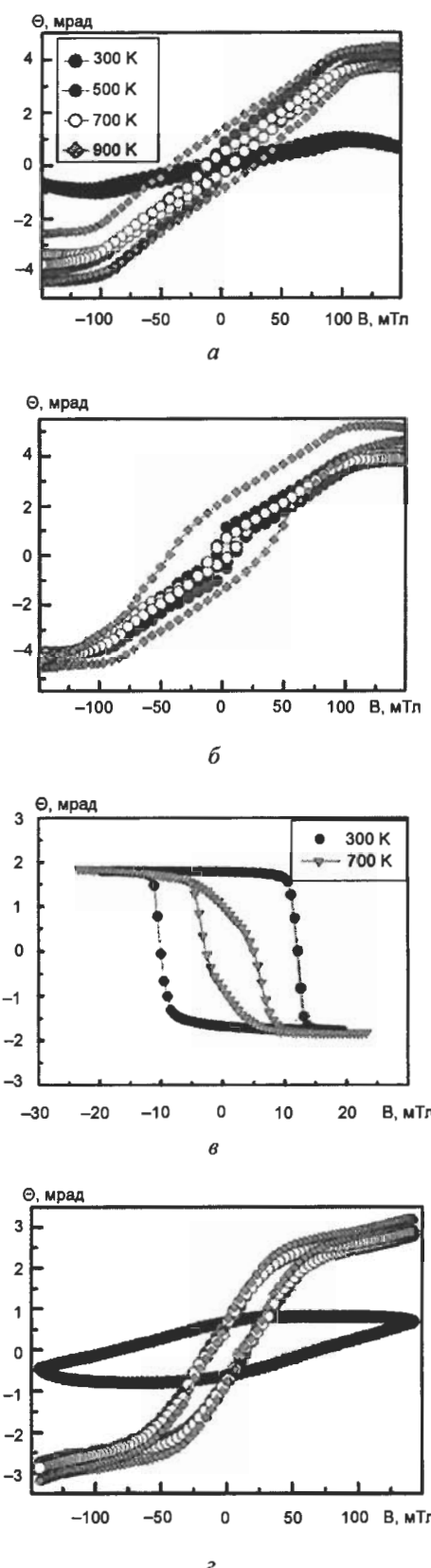


Рис. 4. Залежності величини MOKE від магнітного поля у свіжесконденсованих та відпалених до 500, 700, 900 К зразків: Cu(10)/Co(15)/П (а — поздовжня геометрія, б — перпендикулярна геометрія), Cu(4)/Co(25)/П (в) та Co(10)/Cu(6)/Co(10)/П (г)

**МАГНІТООПТИЧНИЙ  
ДЕФОРМАЦІЙНИЙ КОЕФІЦІЕНТ**  
Дослідження впливу деформації на MOKE — цікаві з точки зору можливості виготовлення чутливого елементу датчику, який би реєстрував відразу декілька величин одночасно, зокрема деформацію та зміну магнітного поля.

В роботі [19] розглядається вплив повзуважної деформації на MOKE для двошарової плівкової системи Fe(32 нм)/Pt(3 нм)/П та мультишару  $[Fe(3 \text{ нм})/Pt(3 \text{ нм})]_8/\text{П}$ . Автори спостерігали збільшення кута повороту площини поляризації при деформації ( $\phi_\varepsilon$ ) у порівнянні з  $\phi_0$  (кут повороту при  $\varepsilon_0$ ).

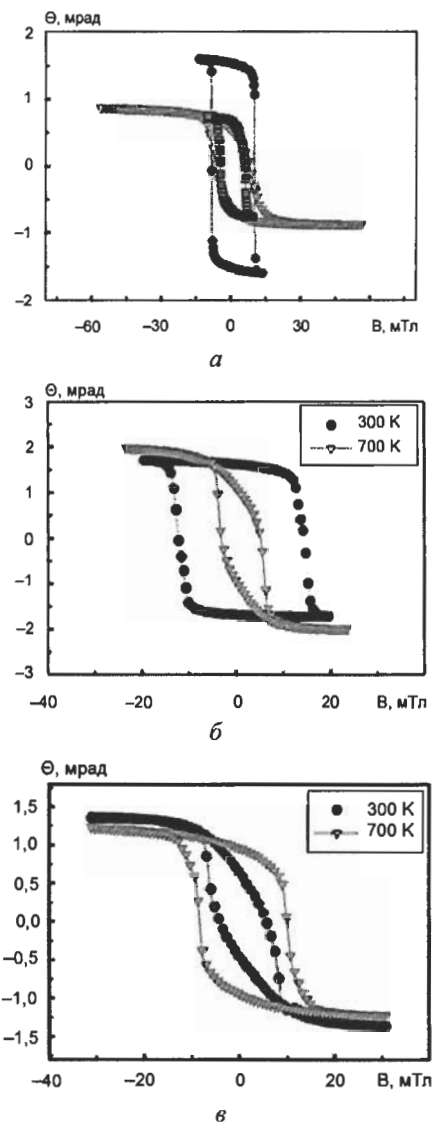


Рис. 5. Залежності MOKE від магнітного поля у свіжесконденсованих плівкових зразків (а, б, в) та відпалених до 700 К (б, в): а — Co(36)/П (●), Ag(8)/Co(36)/П (▼) та Co(6)Ag(8)/Co(36)/П (■); б — Ag(4)/Co(25)/П; в — Ag(3)/Co(7)/Ag(4)/Co(25)/П

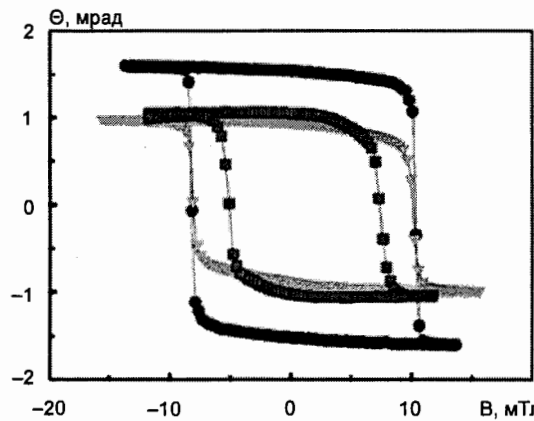


Рис. 6. MOKE у плівках Co(36)/П (●), Au(6)/Co(36)/П (▼) та Co(6)/Au(6)/Co(36)/П (■)

Кількісною характеристикою магнітооптичного деформаційного ефекту, на наш погляд, може бути деформаційний коефіцієнт коерцитивної сили MOKE (ДККСМ), який записаний по аналогії для коефіцієнту тензочутливості або магнітодеформаційного ефекту [19, 20]:

$$\gamma_{B_c}^{\text{MOKE}} = \frac{1}{B_{C_0}} \cdot \frac{\Delta B_c}{\Delta \varepsilon_l},$$

де  $B_c$ ,  $B_{C_0}$  — величина коерцитивної сили при поздовжній деформації ( $\varepsilon_l$ ) та за її відсутності.

Отримані результати розрахунків представлені на рис. 7. Для одношарових плівок Со та зразків, в яких зберігається індивідуальність шарів, (Ag(8)/Co(36)/П, та Au(5)/Co(36)/П) величина ДККСМ є додатною величиною і від'ємною для плівкової системи Cu(10)/Co(36)/П, в якій відбувається формування т. р. вже у процесі осадження плівок. Така поведінка обумовлена появою великої кількості дефектів кристалічної будови, пластичною деформацією зразків, що в цілому приводить до збільшення коерцитивної сили.

Вимірювання  $B_c$  використовується у коерцитометрії — неруйнівний контроль металевих конструкцій. Внаслідок накопичення структурних мікро- та макродефектів і зміни фазового складу значення  $B_c$  також буде змінюватися в сторону збільшення.

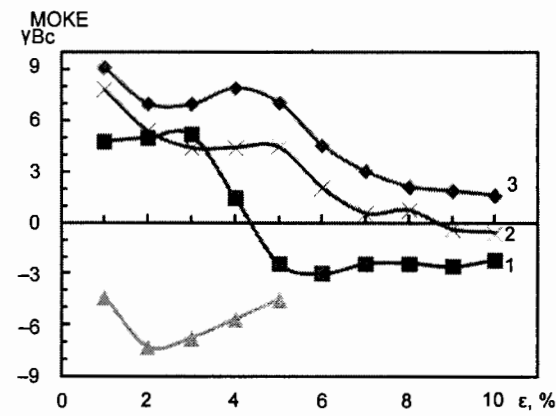


Рис. 7. Залежність ДККСМ від деформації плівкових систем: 1 — Co(36)/П, 2 — Ag(8)/Co(36)/П, 3 — Au(5)/Co(36)/П, 4 — Cu(10)/Co(36)/П

## ВИСНОВКИ

Розглядаючи системи на основі Со та Сі, Ag або Au із урахуванням особливостей формування т. р. та гранульованих сплавів в них, можна зробити наступні висновки. При кімнатних температурах у свіжесконденсованому стані плівкові зразки Со та Со/Au/Со можуть використовуватися як чутливі елементи магнітних датчиків або перемикачів, системи Co/Ag/Co через пологість кривої петлі гістерезису краще використовувати в датчиках вимірювання магнітного поля. Згідно розрахунків ДККСМ, при деформаціях більших за 4,2 % в плівці Со процеси дефектоутворення перестають давати внесок у величину коерцитивної сили.

Робота виконана в рамках держбюджетної теми № 112U001381 за фінансової підтримки Міністерства освіти і науки України (2012 — 2014 pp.).

## ЛІТЕРАТУРА

1. Куницький Ю. А., Курилюк В. В., Однодворець Л. В., Проценко І. Ю. Основи спінtronікі: матеріали, прилади та пристрой: навч. посіб. / — Суми: СумДУ, 2013. — 127 с.
2. Barheleny A., Gros V., Duvail J. L., Fert A., Morel R., Parent F., Petroff F., Steren L. B. Giant magnetoresistance in magnetic nanostructures // Nanostruct. Mat. — 1995. — Vol. 6. — P. 217—226.
3. Alphen A. M., Heijden P. A. A., Jonge W. J. M. Influence of annealing on structural and magnetic properties of Co/Ag multilayers with thin Co layers // J. Magn. Magn. Mater. — 1995. — Vol. 140—144. — P. 609—610.

4. Vavra W., Lee C. H., Lamelas F. J., He Hui, Clarke Roy, Uher C. Magnetoresistance and Hall effect in epitaxial Co/Au superlattices // Phys. Rev. B. — 1990. — Vol. 42, No. 7. — P. 4889—4892.
5. Djamal M., Ramli. Development of sensors based on giant magnetoresistance material // Proc. Eng. — 2012. — Vol. 32. — P. 60—68.
6. Freitas P. P., Silva F., Oliveira N. J., Melo L. V., Costa L., Almeida N. Spin valve sensors // Sens. Actuat. — 2000. — Vol. 81. — P. 2—8.
7. Vorobiov S. I., Shutlyieva O. V., Pazukha I. M., Chornous A. M. Sensitive element of the magnetic field sensor based on three-layer film system  $Co/X/Co$  ( $X = Dy, Gd$ ) // Technical Physics. — 2014. — Vol. 59, No. 11, P. 1644—1649.
8. Исхаков Р. С., Фролов Г. И., Жигалов В. С. и др. Эффекты магнитного взаимодействия между суперпарамагнитными частицами в наногранулированных пленках Со // Письма в ЖТФ. — 2004. — Т. 30, № 16. — С. 51—57.
9. Фролов Г. И., Жигалов В. С., Мальцев В. К. Влияние температуры на структурные превращения в нанокристаллических пленках кобальта // ФТТ. — 2000. — Т. 42, № 2. — С. 326—328.
10. Мирзаев Д. А., Счастливцев В. М., Ульянов В. Г. и др. Закономерности  $\beta \rightarrow \alpha$ -полиморфного превращения в кобальте при возрастании скорости охлаждения // ФММ. — 2002. — Т. 93, № 6. — С. 58—64.
11. Чешко И. В., Проценко С. И., Однодворец Л. В. и др. Магнитооптические и магниторезистивные свойства спин-клапанных структур на основе Со, Cu и Au // Письма в ЖТФ. — 2009. — Т. 35, № 19. — С. 53—60.
12. Чеботкевич Л. А., Огнев А. В., Грудин Б. Н. Структура и магнитная анизотропия пленок Co/Cu/Co // ФТТ. — 2004. — Т. 46, вып. 8. — С. 1449—1554.
13. Yang G. H., Geng K. W., Zeng F. et al. Formation of metastable phases and their effect on the magnetic properties of Co-Cu multilayers // Thin Solid Films. — 2005. — Vol. 484. — P. 283—288.
14. Касютич О. И., Федосюк В. М., Точицкий Т. А. Структура наноразмерных систем Со/Cu и механизм его формирования // Поверхность. — 2000, № 3. — С. 34—41.
15. Маршалек М., Приходько І., Проценко С. Особливості фазового складу двошарових плівок Со/Cu // Фізика і технологія тонких плівок. — Івано-Франківськ: ПрНУ ім. В. Стефаника, 2003. — Т. 1. — С. 94—96.
16. Вдовичев С. Н., Грибков Б. А., Климов А. Ю., Рогов В. В. Коэрцитивность гранулированных ферромагнитных пленок и многослойных структур на их основе // Письма в ЖТФ. — 2008. — Т. 34, вып. 15. — С. 81—88.
17. Kondrakhova D. M., Pazukha I. M., Protsenko I. Yu. Thin film system based on Co and Cr or Cu: magnetoresistive properties and application // Universal J. Phys. Appl. — 2014. — Vol. 2, No. 2. — P. 85—89.
18. Чешко И. В., Проценко С. И., Шифалович П. Магнітооптичні та магніторезистивні властивості плівкових функціональних елементів на основі Со і Cu та Au // Вісник СумДУ. Серія: Фізика, математика, механіка. — 2008. — № 2 — С. 3—7.
19. Cheshko I. V., Makukha Z. M., Odnodvoretz L. V., Shumakova M. O., Velykodnyi D. V., Protsenko I. Yu. Strain effect on magneto-optical and magnetic properties of film system based on Fe and Pt // Universal J. Mater. Sci. — 2013. — № 1(2). — P. 13—17.
20. Макуха З. М., Проценко І. Ю. Магнітодеформаційний ефект у двошарових плівках Co/Cu // ФПП. — 2014. — Т. 12, № 2. — С. 279—284.

## LITERATURA

1. Kunickij Yu. A., Kurilyuk V. V., Odnodvoretz L. V., Procenko I. Yu. Osnovi spintroniki: materiali, priladi ta pristroi : navch. posib. / — Sumi : SumDU, 2013. — 127 p.
2. Barheleny A., Gros V., Duvail J. L., Fert A., Morel R., Parent F., Petroff F., Steren L. B. Giant magnetoresistance in magnetic nanostructures // Nanostruct. Mat. — 1995. — Vol. 6. — P. 217—226.
3. Alphen A. M., Heijden P. A. A., Jonge W. J. M. Influence of annealing on structural and magnetic properties of Co/Ag multilayers with thin Co layers // J. Magn. Magn. Mater. — 1995. — Vol. 140—144. — P. 609—610.
4. Vavra W., Lee C. H., Lamelas F. J., He Hui, Clarke Roy, Uher C. Magnetoresistance and Hall effect in epitaxial Co/Au superlattices // Phys. Rev. B. — 1990. — Vol. 42, No. 7. — P. 4889—4892.
5. Djamal M., Ramli. Development of sensors based on giant magnetoresistance material // Proc. Eng. — 2012. — Vol. 32. — P. 60—68.
6. Freitas P. P., Silva F., Oliveira N. J., Melo L. V., Costa L., Almeida N. Spin valve sensors // Sens. Actuat. — 2000. — Vol. 81. — P. 2—8.
7. Vorobiov S. I., Shutlyieva O. V., Pazukha I. M., Chornous A. M. Sensitive element of the magnetic field sensor based on three-layer film

- system Co/X/Co ( $X = Dy, Gd$ ) // Technical Physics. — 2014. — Vol. 59, No. 11, P. 1644—1649.
8. Ishakov R. S., Frolov G. I., Zhigalov V. S. i dr. Effekty magnitnogo vzaimodejstviya mezhdu superparamagnitnymi chasticami v nano-granulirovannyh plenkah So // Pisma v ZhTF. — 2004. — Vol. 30, No. 16. — P. 51—57.
  9. Frolov G. I., Zhigalov V. S., Malcev V. K. Vliyanie temperatury na strukturnye prevarscheniya v nanokristallicheskikh plenkah kobalta // FTT. — 2000. — Vol. 42, No. 2. — P. 326—328.
  10. Mirzaev D. A., Schaslivcev V. M., Ulyanov V. G. i dr. Zakonomernosti  $\beta \rightarrow \alpha$ -polimorfного prevarscheniya v kobalte pri vozrostanii skorosti ohlazhdeniya // FMM. — 2002. — Vol. 93, No. 6. — P. 58—64.
  11. Cheshko I. V., Procenko S. I., Odnodvorec L. V. i dr. Magnitoopticheskie i magnitorezistivnye svojstva spin-klapannyh struktur na osnove Co, Cu i Au // Pisma v ZhTF. — 2009. — Vol. 35, No. 19. — P. 53—60.
  12. Chebotkevich L. A., Ognev A. V., Grudin B. N. Struktura i magnitnaya anizotropiya plenok Co/Cu/Co // FTT. — 2004. — Vol. 46, vyp. 8. — P. 1449—1554.
  13. Yang G. H., Geng K. W., Zeng F. et al. Formation of metastable phases and their effect on the magnetic properties of Co-Cu multilayers // Thin Solid Films. — 2005. — Vol. 484. — P. 283—288.
  14. Kasyutich O. I., Fedosyuk V. M., Tochickij T. A. Struktura nanorazmernykh sistem Co/Cu i mehanizm ego formirovaniya // Poverhnost. — 2000, No. 3. — P. 34 — 41.
  15. Marshalek M., Prihodko I., Procenko S. Osoblivosti fazovogo skladu dvosharovih plivok Co/Cu // Fizika i tehnologiya tonkih plivok. — Ivano-Frankivsk: PrNU im. V. Stefanika, 2003. — Vol. 1. — P. 94 — 96.
  16. Vdovichev S. N., Gribkov B. A., Klimov A. Yu., Rogov V. V. Koercitivnost granulirovannyh ferromagnitnyh plenok i mnogoslojnyh struktur na ih osnove // Pisma v ZhTF. — 2008. — Vol. 34, vyp. 15. — P. 81—88.
  17. Kondrakhova D. M., Pazukha I. M., Protsenko I. Yu. Thin film system based on Co and Cr or Cu: magnetoresistive properties and application // Universal J. Phys. Appl. — 2014. — Vol. 2, No. 2. — P. 85—89.
  18. Cheshko I. V., Procenko S. I., Shifalovich P. Magnitooptichni ta magnitorezistivni vlastivosti plivkovih funkcionalnih elementiv na osnovi So i Cu ta Au // Visnik SumDU. Seriya: Fizika, matematika, mehanika. — 2008. — No. 2 — P. 3—7.
  19. Cheshko I. V., Makukha Z. M., Odnodvoretz L. V., Shumakova M. O., Velykodnyi D. V., Protsenko I. Yu. Strain effect on magneto-optical and magnetic properties of film system based on Fe and Pt // Universal J. Mater. Sci. — 2013. — No. 1(2). — P. 13—17.
  20. Makukha Z. M., Procenko I. Yu. Magnitodeformacijniy efekt u dvosharovih plivkah Co/Cu // FIP. — 2014. — Vol. 12, No. 2. — P. 279—284.